

ЕРЕМКИНА Н. В.

**СИЛЫ, ДЕЙСТВУЮЩИЕ МЕЖДУ ДВУМЯ ОДИНАКОВЫМИ СФЕРАМИ,  
ОКРУЖЕННЫМИ ДВОЙНЫМ ЭЛЕКТРИЧЕСКИМ СЛОЕМ**

**Аннотация.** В начальном приближении получено выражение для силы, действующей между двумя одинаковыми сферическими частицами, окруженными двойным электрическим слоем. Данный результат согласуется с законом Кулона.

**Ключевые слова:** суспензия, двойной электрический слой, уравнение Пуассона-Больцмана, мультиполь, закон Кулона.

EREMKINA N. V.

**FORCES OPERATING BETWEEN TWO IDENTICAL SPHERES  
SURROUNDED BY ELECTRICAL DOUBLE LAYER**

**Abstract.** The expression of initial-order accuracy is obtained for the force operating between two identical spherical particles surrounded by a double electric layer. This result agrees with the Coulomb's law.

**Keywords:** suspension, double electric layer, Poisson-Boltzmann equation, multipole, Coulomb's law.

**Введение.** Электростатическое взаимодействие между частицами взвеси может происходить при перекрытии двойных электрических слоев (ДЭС) их окружающих. ДЭС – это поверхностные слои пространственно разделенных электрических зарядов противоположного знака, образующихся на границе раздела «твердое тело – электролит» [1].

Толщина ДЭС определяет дальность электростатических взаимодействий в растворе и характеризуется величиной  $\kappa^{-1}$  [1; 2].

При описании таких взаимодействий особый интерес представляют силы, которые возникают между частицами с перекрывающимися ДЭС. Вычислению сил, возникающих между двумя одинаковыми частицами посвящена данная работа.

**Математическая модель.** В неподвижной сплошной среде расположены две неподвижные сферические частицы  $\Omega(1)$  и  $\Omega(2)$  радиуса  $a$ . Для простоты введем декартову прямоугольную систему координат  $Ox_1x_2x_3$  с началом  $O$  в центре первой частицы. Вектор  $\vec{x} = (x_1, x_2, x_3)$  задает положение произвольной точки пространства относительно центра первой частицы, а вектор  $\vec{x} - \vec{r}$  – относительно центра второй, который находится на оси  $x_3$  на расстоянии  $r$  от начала координат.

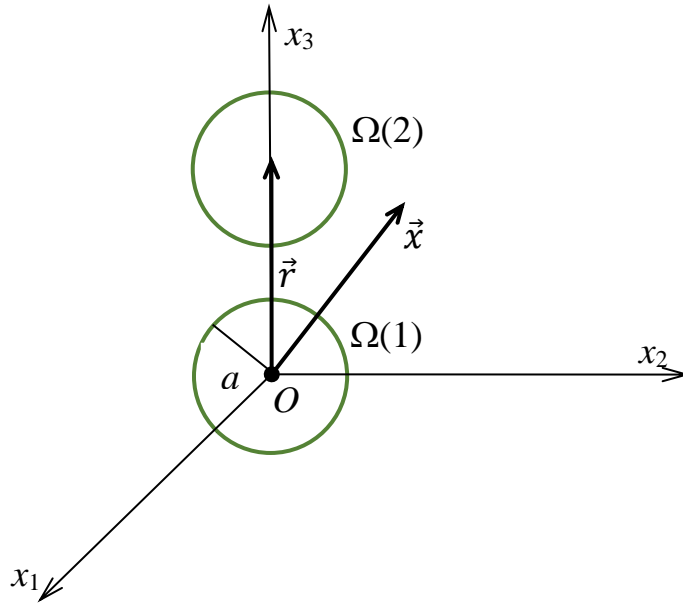


Рис. 1.

В данном случае для описания поля нам достаточно указать его потенциал  $\psi$ . Вне частиц он удовлетворяет уравнению Пуассона – Больцмана:

$$\Delta\psi = \kappa^2\psi, \quad (1)$$

где  $\Delta$  – это оператор Лапласа.

На поверхности частиц потенциал постоянен, а вдали от частиц равен 0:

$$\begin{aligned} \psi|_{\partial\Omega(1)} = \psi|_{\partial\Omega(2)} = \psi_a, \\ \psi|_{\infty} = 0. \end{aligned} \quad (2)$$

На произвольную частицу  $\Omega$  действует сила с компонентами

$$F_i = \oint_{\partial\Omega} p_{ij} n_j dS. \quad (3)$$

В среде с неоднородным распределением потенциала компоненты тензора напряжений  $p_{ij}$  вычисляются по формуле:

$$p_{ij} = -\frac{\varepsilon_F}{8\pi} \frac{\partial\psi}{\partial x_s} \frac{\partial\psi}{\partial x_s} \delta_{ij} + \frac{\varepsilon_F}{4\pi} \frac{\partial\psi}{\partial x_i} \frac{\partial\psi}{\partial x_j}; \quad (4)$$

$\delta_{ij}$  есть символ Кронекера,  $\varepsilon_F$  – диэлектрическая проницаемость среды, по повторяющимся индексам идет суммирование в пределах от 1 до 3 [3].

Наша задача – из уравнений (3) и (4) вычислить силу  $F_i$ , действующую на частицу  $\Omega(1)$ , а для этого необходимо найти функцию  $\psi$ , удовлетворяющую уравнению (1) и краевым условиям (2).

**Решение задачи.** В [4] распределение потенциала было найдено в виде разложения по мультиполям:

$$\begin{aligned} \psi = & C_0(1)\Lambda_0(\vec{x}) + C_j(1)\Lambda_j(\vec{x}) + C_{jk}(1)\Lambda_{jk}(\vec{x}) + C_0(2)\Lambda_0(\vec{x} - \vec{r}) + \\ & + C_{jkl}(1)\Lambda_{jkl}(\vec{x}) + C_{jklm}(1)\Lambda_{jklm}(\vec{x}) + \dots + C_j(2)\Lambda_j(\vec{x} - \vec{r}) + C_{jk}(2)\Lambda_{jk}(\vec{x} - \vec{r}) + \\ & + C_{jkl}(2)\Lambda_{jkl}(\vec{x} - \vec{r}) + C_{jklm}(2)\Lambda_{jklm}(\vec{x} - \vec{r}) + \dots \end{aligned} \quad (5)$$

Функция  $\Lambda_0$  определяется следующим образом:

$$\Lambda_0(\vec{x}) = \frac{\exp(-\kappa|\vec{x}|)}{|\vec{x}|},$$

а мультиполи более высокого порядка суть частные производные  $\Lambda_0$ :

$$\Lambda_{j\dots k}(\vec{x}) = \frac{\partial}{\partial x_j} \dots \frac{\partial}{\partial x_k} \Lambda_0(\vec{x}).$$

Искомыми величинами служат тензорные коэффициенты  $C_0(N)$ ,  $C_j(N)$ ,  $C_{jk}(N)$ , ... в этом разложении. Номер  $N = 1, 2$  указывает на частицу, к которой относится тот или иной коэффициент.

Принцип построения общего решения (5) является достаточно общим и может быть применен для моделирования ДЭС в системах с произвольным количеством и конфигурацией частиц. Эти частицы могут, например, образовать бесконечную трехмерную периодическую решетку [5]. В любом случае структура коэффициентов определяется группой симметрии, которую имеют граничные условия исходного уравнения в частных производных.

В нашей работе конфигурация частиц имеет осевую симметрию, поэтому

$$C_i = CB \cdot b_i, C_{ij} = CC \cdot b_i b_j, C_{ijkl} = CD \cdot b_i b_j b_k b_l, \dots,$$

где  $b_i$  – компоненты единичного направляющего вектора оси симметрии  $Ox_3$ .

Чтобы найти коэффициенты  $C_0$ ,  $CB$ ,  $CC$ ,  $CD$  и им подобные, вводятся малые безразмерные параметры, характеризующие расстояние между частицами и толщину ДЭС по сравнению с их радиусами:

$$\varepsilon = \frac{a}{r}, \quad \delta = \kappa r = \frac{r}{\kappa^{-1}}.$$

В работе [4] коэффициенты разложения были найдены с точностью до восьмой степени малых параметров.

Пользуясь этим решением, мы в начальном приближении нашли силу, действующую на частицу с центром в начале координат.

С точностью до второй степени малых параметров коэффициенты имеют вид:

$$\begin{aligned} C_0(1) = C_0(2) = & \Psi - \varepsilon\Psi + \delta\varepsilon\Psi, \\ CB(1) = -CB(2) = & a\varepsilon^2\Psi. \end{aligned} \quad (6)$$

Остальные коэффициенты имеют более высокий порядок малости и потому считаются равными нулю. Здесь и далее  $\Psi = a\psi_a / e^{ka}$ .

Подставив (5) и выражения для коэффициентов (6) в (4) и (3), получим:

$$F_i = -\Psi^2 \frac{\varepsilon_F \varepsilon^2}{a^2} b_i,$$

что равносильно

$$F_i = -\Psi^2 \frac{\varepsilon_F}{r^2} b_i. \quad (7)$$

**Анализ решения.** Можно показать, что при  $\varepsilon \rightarrow 0$  и  $\delta \rightarrow 0$  заряд  $Q$ , сосредоточенный на поверхности частицы  $\Omega(1)$ , равен

$$Q = \varepsilon_F \Psi.$$

Поскольку частицы одинаковы, на поверхности  $\Omega(2)$  сосредоточен такой же заряд.

Выражая отсюда  $\Psi$  и подставляя в (7), получаем известный закон Кулона:

$$F_i = -\frac{Q^2}{\varepsilon_F r^2} b_i.$$

Это означает, что выражение (7) верно. В пределе, когда сферы, окруженные ДЭС, расположены далеко друг от друга, их можно считать точечными зарядами.

Так как вектор  $\vec{b}$  сонаправлен с осью  $Ox_3$ , то знак « $\leftarrow$ » в выражении (7) говорит о том, что сила действует со стороны частицы  $\Omega(2)$  на частицу  $\Omega(1)$  в направлении  $(-x_3)$ , а значит, является силой отталкивания. Именно такие силы должны действовать между частицами с одноименными зарядами.

**Заключение.** Итак, полученный результат согласуется с законом Кулона. В пределе при  $r \rightarrow \infty$ ,  $\varepsilon \rightarrow 0$  частицы, окруженные ДЭС, ведут себя как точечные заряды. Так как распределение  $\psi$  симметрично, заряды частиц равны; поэтому они должны отталкиваться.

Выражение (7), полученное вручную, можно использовать в качестве теста при проведении более сложных расчетов на ЭВМ, например, в системе Wolfram Mathematica. Результаты, найденные с более высокой степенью точности, в пределе должны переходить в формулу (7).

Саму найденную силу  $F_i$  можно применять для детального описания суспензии, например, исследовать движение частиц и жидкости под действием такой силы.

## ЛИТЕРАТУРА

1. Фридрихсберг Д. А. Курс коллоидной химии: учебник для вузов. – СПб: Химия, 1995. – 400 с.
2. Остроумов Г. А. Взаимодействие электрических и гидродинамических полей. Физические основы электрогидродинамики. – М.: Наука, 1979. – 320 с.
3. Ландау Л. Д., Лифшиц Е. М. Электродинамика сплошных сред. – М.: ГИФМЛ, 1959. – 532 с.
4. Сыромясов А. О., Еремкина Н. В. Математическое моделирование электростатического взаимодействия двух одинаковых сфер, окруженных ДЭС // Журнал Средневолжского математического общества. – 2015. – Т. 17, № 3. – С. 100–108.
5. Сыромясов А. О. Электрогидродинамика структурированной суспензии // Труды Средневолжского математического общества. – 2006. – Т. 8, № 1. – С. 301–306.